

"ПРЯМОЕ" ОПРЕДЕЛЕНИЕ ПАРАМЕТРА ГРЮНАЙЗЕНА *LTO(Г)-МОДЫ АЛМАЗА ПРИ ВЫСОКИХ ДАВЛЕНИЯХ*

И.В.Александров, А.Ф.Гончаров, С.М.Стишов

Проведены измерения спектров комбинационного рассеяния первого порядка алмаза при одновременном измерении параметра его решетки при давлениях до 42 ГПа. Установлено, что параметр Грюнайзена *LTO(Г)*-моды алмаза практически не зависит от плотности.

Академическая проблема устойчивости алмаза при высоких давлениях приобрела в последнее время и практический интерес в связи с использованием алмазов для получения очень высоких давлений, превышающих 1 Мбар ^{1, 2}. Наиболее интересным результатом последних теоретических исследований в этой области явилось заключение об устойчивости алмаза по отношению к переходам в металлическую фазу со структурой типа белого олова ^{3, 4}.

Это означает, что поведение углерода в условиях сильного сжатия принципиально отличается от поведения его ближайших аналогов, кремния и германия⁵⁻⁷. В качестве вероятного кандидата для посталмазной фазы углерода в настоящее время рассматривается фаза типа BC-8^{4,8} в основе структуры которой, по-прежнему, лежит слегка искаженная тетраэдрическая координация атомов углерода⁹.

Предполагаемая стабильность тетраэдрической конфигурации частиц в углероде даже при сверхвысоких давлениях заставляет расширить поиск возможных каналов неустойчивости алмазной фазы углерода. В этой связи представляет интерес исследование оптических колебательных мод.

Ранее в работах¹⁰⁻¹² были исследованы спектры комбинационного рассеяния (КРС) первого порядка алмаза при давлениях вплоть до 72 ГПа. В работе¹⁰ на основании проведенных измерений сделана попытка получить объемную зависимость модового параметра Грюнайзена $\gamma_i = -d \ln \nu_i / d \ln V$ (здесь и далее имеется в виду продольно-поперечная оптическая мода в центре зоны Бриллюэна – $LTO(\Gamma)$). Как оказалось, параметр $\gamma_{LTO}(\Gamma)$ алмаза, в противоположность случаю Si и Ge, растет при сжатии. Однако, заметим, что выводы работы¹⁰ существенным образом зависят от конкретного вида уравнения состояния алмаза и шкалы высоких давлений, известных с недостаточной точностью.

В настоящей статье сообщается о новых измерениях спектров КРС первого порядка алмаза при одновременном измерении его параметра решетки, что дает возможность вычислить "постоянную" Грюнайзена и ее зависимость от объема без использования каких-либо сведений об уравнении состояния алмаза и шкале высоких давлений.

Эксперименты проводились с помощью алмазной камеры высокого давления, конструкция которой позволяла проводить монокристальный рентгеновский анализ. Монокристаллический образец размерами $60 \times 30 \times 15$ мкм и рубиновый датчик помещались в отверстие в металлической прокладке, после чего вся камера вставлялась в специальный сосуд, заполняемый сжатым гелием. Далее, после приложения осевой нагрузки и создания достаточного контактного давления камера извлекалась из сосуда и была готова к соответствующим экспериментам. Таким образом, в настоящей серии измерений средой, передающей давление, служил сжатый гелий, что обеспечило наиболее близкие к гидростатичности условия проведения эксперимента¹⁾.

Техника измерения спектров КРС кратко описывалась в¹⁰. Определение частоты ν основывалось на нескольких измерениях с возбуждающими линиями 488 и 514,5 нм аргонового лазера. Точность определения спектрального положения частоты КРС составляла величину $\sim 0,3$ см⁻¹.

Рентгеновская съемка проводилась на стандартном двухкружном дифрактометре ДРОН 2,0 с использованием MoK α_1 излучения. Точность определения параметра решетки составляла $\sim 10^{-3}$ Å и практически не зависела от давления. Соответствующая точность определения объема или плотности равна 0,1%²⁾.

Измерения параметра решетки и частоты КРС проводились на одном и том же образце при одинаковых показаниях "рубинового" манометра как при нагружении, так и при разгрузении камеры после выдержки в течение некоторого времени, необходимого для практического завершения процессов релаксации, связанных с изменением внешней нагрузки (обычно 1÷3 суток). Все измерения проводились при комнатной температуре.

На рис. 1 приведены результаты определения частоты $LTO(\Gamma)$ моды алмаза в зависимости от плотности. Как видно из рисунка зависимость $\nu_{LTO}(\Gamma)(\rho)$ является практически линейной вплоть до приведенной плотности $\sim 1,075$ или давления ~ 35 ГПа. При более высоких сжатиях наблюдаются отклонения от первоначальной линейной зависимости, сопровождающиеся уширением рентгеновских рефлексов²⁾ и линий КРС. В то же самое время полу-

¹⁾ При комнатной температуре гелий затвердевает при давлении 12 ГПа (120 кбар).

²⁾ Детали рентгеновского эксперимента публикуются в другой статье.

ширины линий R_1 и R_2 люминесценции рубина остаются практически неизменными. Этот эффект оказался вполне обратимым, и мы полагаем, что в его основе лежит неоднородная деформация достаточно тонкой и протяженной пластинки алмаза, служащей образцом, под действием негидростатической составляющей напряжения.

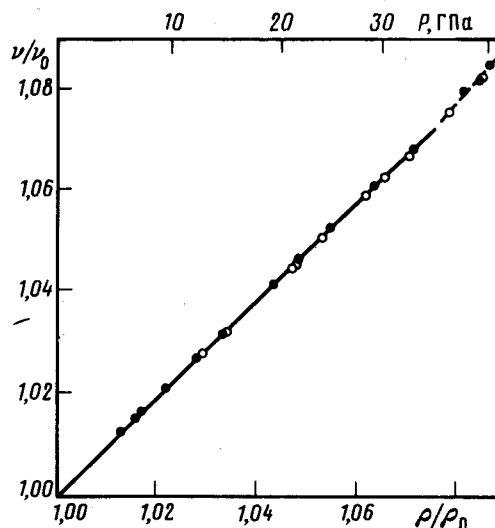


Рис. 1

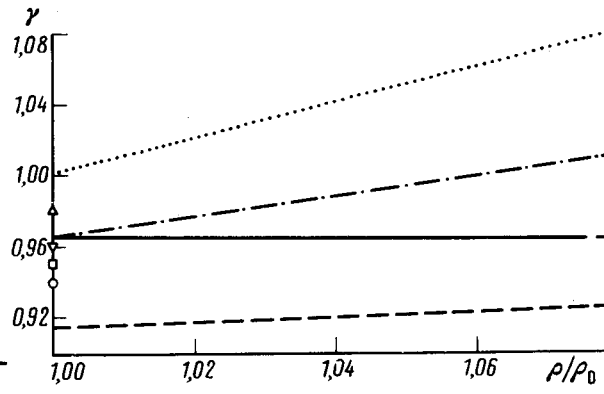


Рис. 2

Рис. 1. Зависимость приведенной частоты КРС от приведенной плотности алмаза ($\nu_0 = 1332,4 \text{ см}^{-1}$; $\rho_0 = 3,5116 \text{ г}/\text{см}^3$). Шкала давлений приведена согласно рубиновой калибровке ¹³: ○ — прямой ход, ● — обратный ход

Рис. 2. Зависимость модового параметра Грюнайзена $LTO(\Gamma)$ -моды от приведенной плотности алмаза:
 — данные настоящей работы; ······¹⁰, - - -¹¹, - · - -¹⁵, ∇ ¹¹, \square ¹², \triangle ¹⁶, \circ ¹⁷

Так или иначе наблюдаемая аномалия в поведении $\nu(\rho)$ ограничивает наш дальнейший анализ областью изменения плотности в интервале $1 < \rho/\rho_0 < 1,075$, соответствующей гидростатическому режиму. Учитывая, что изменения наклона функции $\nu(\rho)$ в любом случае малы, будем искать выражение для $\gamma_{LTQ}(\Gamma)$ в виде

$$\gamma = \gamma_0 + [\partial\gamma/\partial(V/V_0)]_{V=V_0} [(V/V_0) - 1]. \quad (1)$$

Расчеты дают следующие значения параметров в (1): $\gamma_0 = 0,958 \pm 0,005$; $[\partial\gamma/\partial(V/V_0)]_{V=V_0} = -(0,20 \pm 0,19)$. Учитывая, что $(\partial\gamma/\partial P)_0 = -(1/K_0)[\partial\gamma/\partial(V/V_0)]_{V=V_0}$, где $K_0 = -V_0(\partial P/\partial V)_{V=V_0}$, получим, используя для K_0 значение 4,42 Мбар или 442 ГПа⁻¹, $(\partial\gamma/\partial P)_0 = (4,5 \pm 4,3) \cdot 10^{-4}$ ГПа⁻¹. Численные значения ошибок соответствуют 65%-ному уровню доверительной вероятности. Как видно из приведенных данных, неопределенность численных значений производных $(\partial\gamma/\partial P)_0$ и $[\partial\gamma/\partial(V/V_0)]_{V=V_0}$ столь высока, что, по-видимому, следует считать $\gamma = \text{const}$ в интервале $1 < \rho/\rho_0 < 1,075$. Расчет в этом приближении дает $\gamma = \gamma_0 = 0,965 \pm 0,005$.

На рис. 2 представлены доступные экспериментальные и теоретические результаты, характеризующие поведение $\gamma_{LTO}(\Gamma)$ при сжатии. Там же приведено несколько результатов определения $\gamma_{LTO}(\Gamma)$ при атмосферном давлении, найденных в литературе.

Как видно из сравнения настоящих результатов с данными работы ¹⁰ (рис. 2) экспериментальное определение γ_i сжатого вещества в отсутствие прямой информации о его плотности является весьма деликатной и не всегда надежной процедурой.

Итак, несмотря на слабый рост $\gamma_{LTO}(\Gamma)$ при увеличении плотности, предсказываемый теоретиками (см. рис. 2), "прямые" экспериментальные данные говорят скорее о постоянстве $\gamma_{LTO}(\Gamma)$ при сжатии до $\rho/\rho_0 \cong 1,075$. Очевидно, в данном случае выполняется простой закон Грюнайзена $\nu/\nu_0 = (V_0/V)^0$,⁹⁶⁵ что позволяет говорить об алмазе, как об идеальном

"грюнайзеновском" теле, по крайней мере в отношении $LTO(\Gamma)$ колебаний. Таким образом, пока ничего не предвещает неустойчивости алмаза, связанной с $LTO(\Gamma)$ колебательной модой. Более того, поскольку силовая постоянная, соответствующая $LTO(\Gamma)$ колебаниям, включает вклад от нецентральных взаимодействий^{18, 19}, следует думать, что поперечные акустические моды в алмазе являются вполне стабильными при умеренных сжатиях.

Литература

1. Bell P.M., Mao H.K., Goettel K. Scince, 1984, **226**, 542.
2. Moss W.C., Hallquist J.O., Reichlin R., Goettel K.A., Martin S. Appl. Phys. Lett., 1986, **48**, 1258.
3. Yin M.T., Cohen M.L. Phys. Rev. Lett., 1983, **50**, 2006.
4. Biswas R., Martin R.M., Needs R.J., Nielsen O.H. Phys. Rev. B, 1984, **30**, 3210.
5. Jamieson J.C. Sciente, 1963, **139**, 762.
6. Weinstein B.A., Piermarini G.J. Phys. Rev. B, 1975, **12**, 1172.
7. Olego D., Cardona M. Phys. Rev. B., 1982, **25**, 3680.
8. Yin M.T. Phys. Rev. B, 1984, **30**, 1773.
9. Kasper J.C., Richards S.M. Acta Cryst., 1964, **17**, 752.
10. Гончаров А.Ф., Макаренко И.Н., Стишов С.М. Письма в ЖЭТФ, 1985, **41**, 150.
11. Hanfland M., Syassen K., Fahy S., Louie S.G., Cohen M.L. Phys. Rev. B, 1985, **31**, 6896.
12. Boppert H., van Straaten J., Silvera I.F. Phys. Rev. B, 1985, **32**, 1423.
13. Mao H.K., Bell P.M., Shaner J.W., Steinberg D.J. J. Appl. Phys., 1978, **49**, 3276.
14. McSkimin H.J., Andreatch P., Jr. J. Appl. Phys., 1972, **43**, 2944.
15. Nielsen O.H. Preprint NORDITA – 85/40, 1985; Phys. Rev. B, 1986.
16. Whalley E., Lavergne A., Wong P.T.T. Rev. Sci. Instrum., 1976, **47**, 845.
17. Mitra S.S., Brafman O., Daniels W.B., Crawford R. K. Phys. Rev., 1969, **186**, 942.
18. Yin M.T., Cohen M.L. Phys. Rev. B, 1983, **26**, 3259.
19. Wendel H., Martin R.M. Phys. Rev. B, 1979, **19**, 5251.